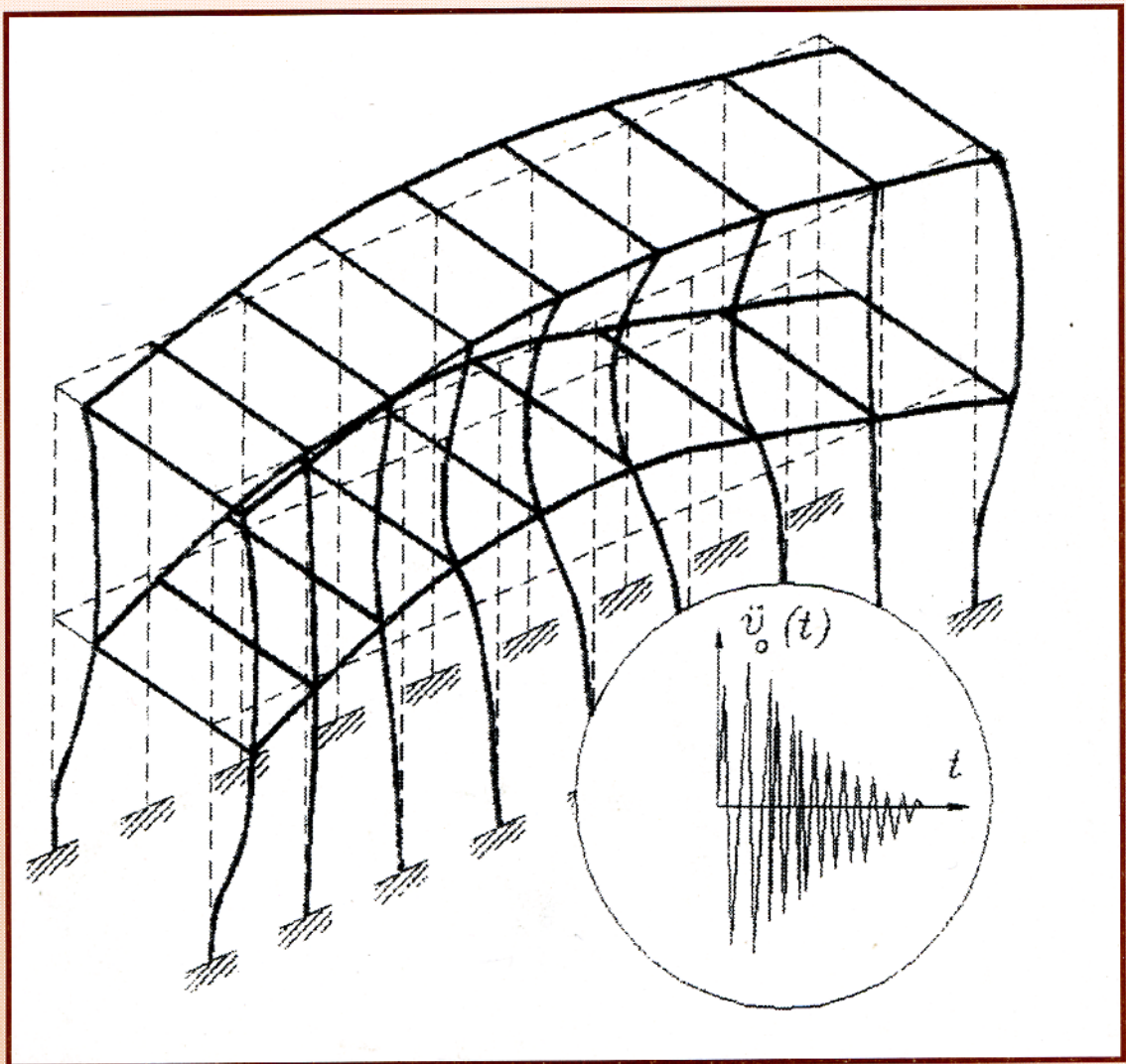


ISSN 1409-2441

# Ingeniería

Revista de la Universidad de Costa Rica  
Julio/Diciembre 1997 VOLUMEN 7 N° 2



ISSN 1409-2441

# INGENIERIA

Revista Semestral de la Universidad de Costa Rica  
Volumen 7, Julio/Diciembre 1997 Número 2

## DIRECTOR

Rodolfo Herrera J.

## CONSEJO EDITORAL

Víctor Hugo Chacón P.  
Ismael Mazón G.  
Domingo Riggioni C.

## CORRESPONDENCIA Y SUSCRIPCIONES

Editorial de la Universidad de Costa Rica  
Apartado Postal 75  
2060 Ciudad Universitaria Rodrigo Facio  
San José, Costa Rica

## CANJES

Universidad de Costa Rica  
Sistema de Bibliotecas, Documentación e Información  
Unidad de Selección y Aquisiciones-CANJE  
Ciudad Universitaria Rodrigo Facio  
San José, Costa Rica

**Suscripción anual:**  
Costa Rica: ₡ 1 000,00  
Otros países: US \$ 25,00

**Número suelto:**  
Costa Rica: ₡ 750,00  
Otros países: \$ 15,00



# LA PREDICCIÓN DE LAS CORRIENTES Y MAREAS EN EL MUELLE NACIONAL DE PUNTARENAS

Luis M. Murillo B. (1)

## Resumen

Se presentan los métodos de análisis armónico de corrientes bidimensionales, mareas y los resultados para las alturas y las elipses de marea. Se discuten implicaciones de importancia para la ingeniería costera como la construcción y operación del nuevo muelle nacional de Puntarenas. Las elipses de marea presentan ejes menores muy pequeños y orientados en dirección aproximada de  $245^\circ$ . Las corrientes no se correlacionan de forma sencilla con la altura de marea y pueden ser máximas cuando las alturas son mínimas y viceversa. La circulación posee mucha vorticidad lo que desvirtúa los diseños de estructuras alineadas perpendicularmente a la playa.

## Summary

Two dimensional harmonic analysis methods are presented together with results for tidal heights and currents applicable to the location of the old Puntarenas Dock. Coastal engineering implications are discussed. Tidal ellipses are degenerate and have major axis aligned  $246^\circ$ . Vortical oscillations warn against alignments perpendicular to the beach.

## 1. INTRODUCCIÓN

Las corrientes en la zona del muelle nacional de Puntarenas son parte de las corrientes que existen en el interior del Golfo de Nicoya, Costa Rica y como tales poseen elipses de marea semidiurnas dominadas por la componente armónica lunar principal  $M_2$  (Murillo, 1991). Esto hace que las aguas se muevan con vorticidad alrededor de su eje principal e implica que su predicción debe hacerse con métodos bidimensionales. En el muelle se planean obras civiles de envergadura, como la construcción una terminal de buques crucero. Las operaciones de atraque requieren del conocimiento de las corrientes, en especial porque los diseñadores han escogido una

desafortunada orientación que es perpendicular al eje mayor de la ellipse de corrientes. Modelos numéricos existentes (Murillo, 1993b) han predicho las corrientes en toda la zona, sin embargo, el énfasis de este trabajo se orienta a la predicción armónica continua y bidimensional de las elipses de marea para intervalos arbitrarios y con una resolución temporal arbitraria para el sitio.

## 2. EL ANÁLISIS ARMÓNICO

El presente estudio amplia el análisis armónico clásico mediante el análisis de frecuencias escondidas en dos dimensiones y logra obtener las amplitudes y fases de los principales componentes armónicos de las mareas y las corrientes en el viejo muelle nacional de Puntarenas. Se usan tres meses de datos tomados desde diciembre de 1996 a marzo de 1997. Las mediciones fueron hechas por el Programa de Investigaciones en Ingeniería Costera y Naval, P.I.I.C.A.N., con la colaboración del Ministerio de Obras Públicas y Transportes, Sección de Obras Fluviales y Portuarias, del Gobierno de Costa Rica y el Instituto de Puertos del Pacífico, I.N.C.O.P. Usando esta estructura armónica básica

(1) Prof. Esc. Física, Programa de Investigaciones en Ingeniería Costera y Naval  
Proyecto Oleaje y Circulación UCR 550 95 576,  
Sede de Puntarenas.

bidimensional se pueden hacer predicciones para el período deseado (e.d. para los próximos 3 años) en el sitio extremo sur del viejo muelle nacional de Puntarenas.

Las mediciones de campo son tratadas como una serie temporal egódica y se aplican los métodos espectrales requeridos para analizar la estructura esencial de las señales bidimensionales y de alturas mareales y sus espectros de energía. Primero se filtran las frecuencias altas, luego se substrae la media de las señales y se eliminan las tendencias. Si no hay efectos no lineales significativos en los espectros, se procede con el análisis bidimensional de la señal restante por medio del análisis de frecuencias escondidas usando el método del descenso cíclico en dos direcciones. Si hay frecuencias no lineales se amplía el espectro, consecuentemente, para incluir estos efectos mediante el estudio de las sobre frecuencias de la componente principal que, en nuestro caso, es la  $M_2$ . Esto produce la información básica del sitio, es decir las amplitudes y las fases de los Componentes Armónicos de mayor importancia.

La información armónica producida por el análisis cíclico no es necesariamente idéntica con la sugerida inicialmente por el análisis armónico clásico, pues las frecuencias, amplitudes y fases han sido optimizadas para lograr la minimización característica del método del descenso cíclico.

Con esta información y las correcciones de fase necesarias para el inicio de los cálculos, se pueden hacer predicciones de alturas de marea y corrientes mediante los métodos tradicionales muy conocidos (Shureman, P., 1958) o adaptaciones de los mismos (Murillo 1993a), o los paquetes predictivos automáticos del Instituto Talasográfico de Trieste (Stravisi, 1983) u otros similares como el de la U.S. Coast and Geodetic Survey muy usado en Latinoamérica (véase por ejemplo M.A.R.N.R., 1992).

### 3. EFECTOS NO LINEALES

El espectro de alturas de marea es típico para la zona y ya ha sido analizado en otras publicaciones

anteriores (Murillo, 1981, 1991, 1993b, 1993c). El espectro de las corrientes en la zona del muelle muestra efectos no lineales considerables por lo que el análisis de las señales bidimensionales este-oeste y norte-sur se debió ampliar con las componentes no lineales  $M_4$ , y  $M_6$ .

Para obtener este espectro de energía se tomó la serie medida por el PIICAN, se filtraron las frecuencias muy altas, se blanqueó la serie un poco, se eliminó la media y se eliminaron las tendencias. Luego se usó una ventana Hamming para finalmente correr la FFT (Transformada Rápida de Fourier).

Los componentes que se podrían originar en los términos convectivos no lineales de la ecuación de momento, poseen energía suficiente y deben analizarse separadamente. Estos componentes en principio tienen frecuencias múltiples de las frecuencias armónicas principales (i.e. las sobremareas) o iguales a la suma y la diferencia de las frecuencias principales (i.e. las mareas compuestas). En nuestro caso solo las sobremareas  $M_4$  y  $M_6$  se consideran de importancia.

### 4. ANÁLISIS ARMÓNICO TRADICIONAL

En el análisis armónico tradicional (véase por ejemplo Anderson, 1971) se usan comúnmente las estimaciones estadísticas de mínimos cuadrados para la amplitud y la fase de las componentes armónicas de interés que, generalmente, son menos de diez en problemas de ingeniería costera. Las frecuencias son conocidas a partir del análisis astronómico de las características de las órbitas de la luna y del sol (Shureman 1958). Entonces, asumiendo la presencia en la señal de frecuencias conocidas,

$$(\omega_k = 2\chi/T_k \quad k = 1\dots 9)$$

se crea un modelo de la oscilación para cada señal, es decir, la altura, la señal de velocidad este-oeste y la señal de corriente norte-sur. Esto se hace para cada señal mediante la ecuación:

$$X_t = \mu + \Sigma [R \cos(\omega t + \phi)] + \varepsilon_t \quad (1)$$

en donde  $\mu$  es la media, la suma cubre las siete frecuencias de interés en este estudio y R está dado por

$$R = \sqrt{(A^2 + B^2)} \quad (2)$$

La fase  $\phi$  se calcula para cada frecuencia  $w_k$  según

$$\tan(\phi) = -B/A \quad (3)$$

La ecuación del modelo también se puede escribir como

$$x_t = \Sigma [A \cos(\omega t)] + \varepsilon_t \quad (4)$$

en donde la suma cubre las frecuencias tratadas  $k=1 \dots 9$ , y  $\varepsilon_t$  representa el error. En este caso el modelo es ahora lineal y sus parámetros son las A's y las B's para cada frecuencia  $w_k$ .

La estimación de los parámetros del modelo, es decir, de las A's, las B's y las fases  $f_k$ , se realiza mediante la minimización clásica de mínimos cuadrados. El cálculo de los parámetros del mejor ajuste, según el método de mínimos cuadrados, se logra haciendo que el funcional

$$F(A, B) = \Sigma [x_t - \mu - A \cos(\omega t)]^2 \quad (5)$$

sea un mínimo. Esto sucede si las constantes A y B se calculan para cada frecuencia  $w_k$  según (Anderson, 1971).

$$A = \frac{\Sigma x_t \cos(\omega t) \Sigma [\sin(\omega t)]^2 - \Sigma x_t \sin(\omega t) \Sigma \cos(\omega t) \sin(\omega t)}{\Sigma [\cos \omega t]^2 \Sigma [\sin(\omega t)]^2 - [\Sigma \cos(\omega t)]^2} \quad (6)$$

$$B = \frac{\Sigma x_t \sin(\omega t) \Sigma [\cos(\omega t)]^2 - \Sigma x_t \cos(\omega t) \Sigma \cos(\omega t) \sin(\omega t)}{\Sigma [\cos \omega t]^2 \Sigma [\sin(\omega t)]^2 - [\Sigma \cos(\omega t)]^2} \quad (7)$$

Para realizar los cálculos indicados en las ecuaciones anteriores o simplificaciones de las mismas, se escribieron programas en Fortran

(Microsoft, 5.0), que luego se corrieron en Microcomputadores personales.

## 5. ANÁLISIS DE FRECUENCIAS

Cuando las frecuencias  $w_k$  son inciertas, pero se sospecha que son cercanas a valores conocidos, entonces se expande con series de Taylor y se obtiene para cada frecuencia el funcional de aproximación según

$$\begin{aligned} F[\mu, A, B, \omega] &\cong F[\bar{x}, \bar{A}(\omega), \bar{B}(\omega), \omega] \\ &\cong F(\bar{x}, 0, 0, \omega) - \frac{n[A(\omega)^2 + B(\omega)^2]}{2} \end{aligned} \quad (8)$$

En lo anterior, se sigue el método del descenso cíclico, a saber: se dividen los parámetros de interés en grupos mutuamente exclusivos e independientes y se minimiza el error respecto de los subgrupos, manteniendo los demás constantes, y reemplazando los valores de la última aproximación. Las iteraciones se realizan hasta que se alcance un grado mínimo de variación aceptable de los subgrupos (digamos  $1 \times 10^{-6}$ ), o sea un máximo en el periodograma correspondiente, es decir en  $\{A_k^2 + B_k^2\}$ . Esto asume que las derivadas parciales de los funcionales son continuas y bien comportadas (i.e ningún caso patológico raro).

## 6. ANÁLISIS DE RESULTADOS Y SUS IMPLICACIONES OPERATIVAS.

Las frecuencias de los componentes más importantes de muestran en el Cuadro No. 1. La figura No. 1 muestra las predicciones de altura y corriente para la fecha indicada. Inicialmente se supuso que la corriente era proporcional a la altura de marea, pero subsecuentes cómputos mostraron que esto no era cierto. La figura No. 2 muestra los mismos parámetros que la figura No. 1 pero para otra fecha. De la comparación de las figuras se concluye que puede haber corrientes máximas en épocas de alturas mínimas y viceversa. En consecuencia no existe proporcionalidad directa sencilla entre la altura de la marea y la velocidad de la corriente. Las figuras No. 2 y 3 muestran la descomposición ortogonal de la velocidad con la minimización del residual cuadrático para el eje principal que

apunta en una dirección  $245^\circ$  aproximadamente. La componente normal ( $V'$ ) al eje principal es prácticamente cero.

Para transformar las componentes este-oeste y norte-sur, a las direcciones a lo largo de los ejes principales de la elipse, se multiplica por la matriz de rotación horizontal, hasta que los residuales se minimicen. Las curvas continuas en las figuras presentadas corresponden a interpolaciones polinomiales de segundo orden de los datos base. Estos datos base se predicen para cada diferencial temporal  $dt$ , que se puede escoger arbitrariamente en este modelo predictivo. Las predicciones de corriente se hacen a lo largo del eje principal, que en nuestro caso se encuentra alineado a la dirección azimutal  $245^\circ$ , aproximadamente. Las predicciones primero se hacen para los ejes este-oeste y norte sur, luego mediante métodos de minimización de mínimos cuadrados de desviaciones perpendiculares se escoge el eje principal. Luego se produce un análisis de máximos y mínimos según Newton-Fourier para los valores de las alturas y las corrientes principales para encontrar los tiempos y los máximos y mínimos que se usarán para producir las tablas de marea.

La convención seguida en esto es que velocidades entrantes (en dirección suroeste,  $245^\circ$ ) al Golfo de Nicoya son positivas y velocidades salientes (en dirección noreste) son negativas.

Las figuras No. 3, 4, 5, 6 y 7 muestran las elipses computadas para las fechas indicadas. Nótese como las elipses muestran un eje menor bastante más pequeño que el principal. De la rotación se nota que la vorticidad, generada por las corrientes de marea, hace rotar forzosamente a todos los objetos grandes.

La figura No. 8 muestra el modelo de circulación y la influencia de la vorticidad discutida abajo.

## 7. EL MODELO DE CIRCULACIÓN

En esta sección se discuten resultados de las mediciones de campo ejecutadas por el P.I.I.C.A.N. durante la campaña de mediciones de 1996 (Murillo, 1997) y se combinan con los resultados de las predicciones del modelo armónico.

Las corrientes cercanas a la costa están alineadas casi paralelas a la misma con un giro hacia el sur de tal forma que el eje mayor de la elipse degenerada se alinea en dirección, aproximadamente, 240 a 255° (Murillo 1997b). La degeneración de las elipses es completa cerca de la playa pero el eje menor se desarrolla, paulatinamente, en dirección perpendicular a la playa de tal forma que ya a unos 700 m de esta las elipses de corriente muestran ejes comparables, aunque aún dominados por el arrastre hacia el oeste. Cerca de la playa la dominancia va en una proporción de 7 a 1 (Murillo, 1995).

Al intensificarse y adelantarse las corrientes con la distancia a la playa y dominar el arrastre hacia el oeste, se desarrolla una vorticidad negativa dominante, que tiende a hacer girar tanto a los objetos flotantes grandes como a los barcos. Sin embargo, cerca de la playa, al estar el eje menor en mayor desproporción con el eje mayor de la elipse, el giro no es completo, sino que solo alcanza hasta el mismo eje mayor en uno y otro sentido. Es decir un objeto anclado por su punta se alinea de frente a la corriente girando hacia el este, negativamente, o sea a favor del sentido de rotación las agujas del reloj, con la corriente entrante.

Conforme se agota la velocidad de la marea entrante el objeto gira negativamente hasta encontrar las bajas corrientes y comenzar luego a girar positivamente, o sea en el sentido contrario al giro de las agujas del reloj, durante la marea saliente, alineándose ahora con su punta anclada hacia el oeste.

Esta oscilación se repite cada ciclo de marea de aproximadamente 12 horas y 50 minutos de

duración día y noche de forma continua e ininterrumpida. El giro durante la marea entrante es entonces negativo y el giro durante la marea saliente es entonces positivo.

Esto tiene implicaciones para estructuras flotantes casi libres y con poca capacidad de propulsión propia como un buque sin propulsores laterales. Este buque debiera atracar en el muelle por el canal vieniendo desde el este y dirigiéndose hacia el oeste. Al acercarse a una estructura casi perpendicular a la playa, este estará tratando "naturalmente" de girar negativamente durante la marea entrante y también tratará de girar positivamente durante la marea saliente.

Lo anterior le da a un alineamiento norte-sur para cualquier estructura fija o flotante un característico y natural desequilibrio, que habrá de balancearse o neutralizarse artificialmente mediante artefactos de propulsión en aguas muy someras de menos de 11 m (con referencia al nivel de alturas de Sicigias), en donde es sabido que existen fuerzas que tienden a frenar mediante efectos de alta velocidad y baja presión entre la quilla y el fondo.

La circulación costera está dominada por la marea entrante de tal forma que la integral velocidad-tiempo (área bajo la curva) es de siete a nueve veces superior durante la marea entrante que durante la marea saliente (Murillo, 1995). Es entonces importante considerar defensas estructurales para soportar las fuerzas que este vórtice pudiera desarrollar sobre un muelle de 200 o más metros de longitud, esto asumiendo que se sigan los estándares internacionales como los recomendados por la S.N.A.M.E. (Sociedad norteamericana de ingenieros y arquitectos navales).

Cálculos provisionales indican que una corriente de dos nudos actuando perpendicularmente a la estructura puede desarrollar fuerzas máximas cercanas y superiores a las 200 toneladas en una área de 200 x 8 metros cuadrados. Una corriente de cuatro nudos produce cuatro veces más

empuje lateral sobre la estructura. Esto podría causar problemas de maniobra muy significativos si no se hacen las previsiones del caso.

Las elipses de corriente pierden desigualdad ya lejos de la playa, a un kilómetro de distancia aproximadamente.

## 8. PREDICCIONES PARA 1998

El cuadro No. 2 muestra las alturas de marea máxima y mínima y las correspondientes fechas predichas para el año 1998 para el extremo sur del muelle viejo de Puntarenas. Este cuadro muestra también las fases de la luna correspondientes.

El cuadro No. 3 hace lo mismo con las corrientes principales, es decir la componente de la corriente a lo largo del eje principal, sus máximos y mínimos y las fechas correspondientes para el año 1998.

Obviamente, estos cálculos no incluyen los valores extremos de las corrientes que pueden ser generados por posibles *tsunamies* o efectos meteorológicos y que pueden, según observadores locales, llevar las corrientes hasta los 3 o 4 nudos (2.2 m/s). Tampoco se incluyen los posibles efectos de la nueva terminal de cruceros sobre las profundidades y la circulación.

## 9. CONCLUSIONES

Se presentan los resultados del análisis armónico bidimensional, no lineal, para periodicidades conocidas de las series temporales de alturas y corrientes de marea para el viejo muelle nacional de Puntarenas, en el Golfo de Nicoya, en la costa del pacífico de Centroamérica. Se mejora significativamente la capacidad predictiva con la introducción de los análisis cíclicos para las frecuencias. Estos análisis cíclicos producen unas estructuras armónicas capaces de producir valores útiles de las alturas y las corrientes para las operaciones del muelle. Los resultados de los análisis cíclicos

podrían usarse en los métodos clásicos para el cálculo de las mareas en cualquier lugar de Centroamérica. Las ventajas mayores son, entre otras, que se puede usar prácticamente cualquier número ( $> 400$ ) de datos (horarios o no) en el análisis de la estructura armónica de la oscilación y existe mucho mejor ajuste de las predicciones así obtenidas con los datos originales medidos en el campo. El análisis además se puede realizar en una pequeña computadora personal con procesador matemático y una capacidad de memoria común.

## 10. BIBLIOGRAFÍA

Anderson, T.W., 1971: *"The statistical analysis of time series"*. New York, Wiley.

MARNR (Ministerio del Ambiente y de los Recursos Naturales Renovables) 1992: "Predicciones de alturas horarias de la marea para los puertos de Amuay, La Guaira y Puerto de Hierro e informaciones mareográficas de interés general". Servicio Autónomo de Geografía y Cartografía Nacional, División de Geodesia, Sección de Mareas, Gobierno de la República de Venezuela.

Murillo B., L.M., 1981: Modelling Tidal Hydrodynamics and Dispersion in the G.of Nicoya, Costa Rica. M.Sc.Thesis Univ.de Oregón, USA

Murillo B., L.M., 1991: *"La circulación de las mareas en el Golfo de Nicoya"*. Tecnología en Marcha. Vol.10 No. 4, p. 51-76.

Murillo B., L.M., 1993a: *"La predicción continua de las mareas para las costas costarricenses para los años 1991-2000"*. Tecnología en Marcha. Vol. 11, No. 4., p. 45-48

Murillo B., L.M., 1993b: *"Hidráulica Mareal del Golfo de Nicoya Superior"*. Ingeniería. Vol. 3 , No.1.

Murillo B., L.M., 1993c: *"Modelando flujo unidimensional no estable en canales de ancho y profundidad variables"*. Ingeniería. Vol. 3 , No. 2.

Murillo B., L.M., 1995: Reporte No. 3: Análisis de Corrientes y sus Fuerzas en los Navíos Anclados. MOPT, División de Obras Portuarias y Fluviales-INIE-UCR. Prog. de Diseño del Muelle Turístico-Puntarenas, C.R. 100 pl. Junio 1995.

Murillo B., L.M., 1997: Modelo de Circulación y Oleaje Direccional para el Muelle de Puntarenas. Reporte No. 3 Ministerio de Obras Públicas y Transportes, División de Obras Portuarias y Fluviales MOPT, Instituto de Puertos del Pacífico INCOP y la Vicerrectoría de Investigación de la Universidad de Costa Rica. 58 pl. Abril -Junio 1997.

Stravisi F., 1983: "The IT Method for the Harmonic Tidal Prediction". *Boll.Oceanol. Teor. Appl.*, I,3, 193-204.

Shureman P., 1958: Manual of Harmonic Analysis and Prediction of Tides. U.S. Dep. of Commerce, Coastal Geodetic Survey, Special Publication No.98.

Luis M. Murillo B., Ing. M.Sc., Ph.D., Prof. Univ. de Costa Rica. *Ingeniería Costera y Oceanografía Física, Oregon State University, 1981.*

*Ingeniería Oceánica, University of Rhode Island, U.S.A., 1990.*

SNAME (*The Society of Naval Architects and Marine Engineers, 601 Pavonia Ave. , N.J., E.U.* ), Associate Member 4235580

**CUADRO No. 1**

$$V(t)_{x,y} = \sum f_{(x,y)i} V_{(x,y)i} \cos(\omega_{(x,y)i} t + g_{(x,y)i})$$

<b>Componente Armónica</b>	<b>Período (horas)</b>
	$2\pi/\omega_i$
M <sub>2</sub>	12.4206012
S <sub>2</sub>	12
N <sub>2</sub>	12.6583483
K <sub>1</sub>	23.9344696
M <sub>4</sub>	6.21030061
O <sub>1</sub>	25.8193417
M <sub>6</sub>	4.14020041
K <sub>2</sub>	11.9672348
P <sub>1</sub>	25.8193417

Figura No. 1

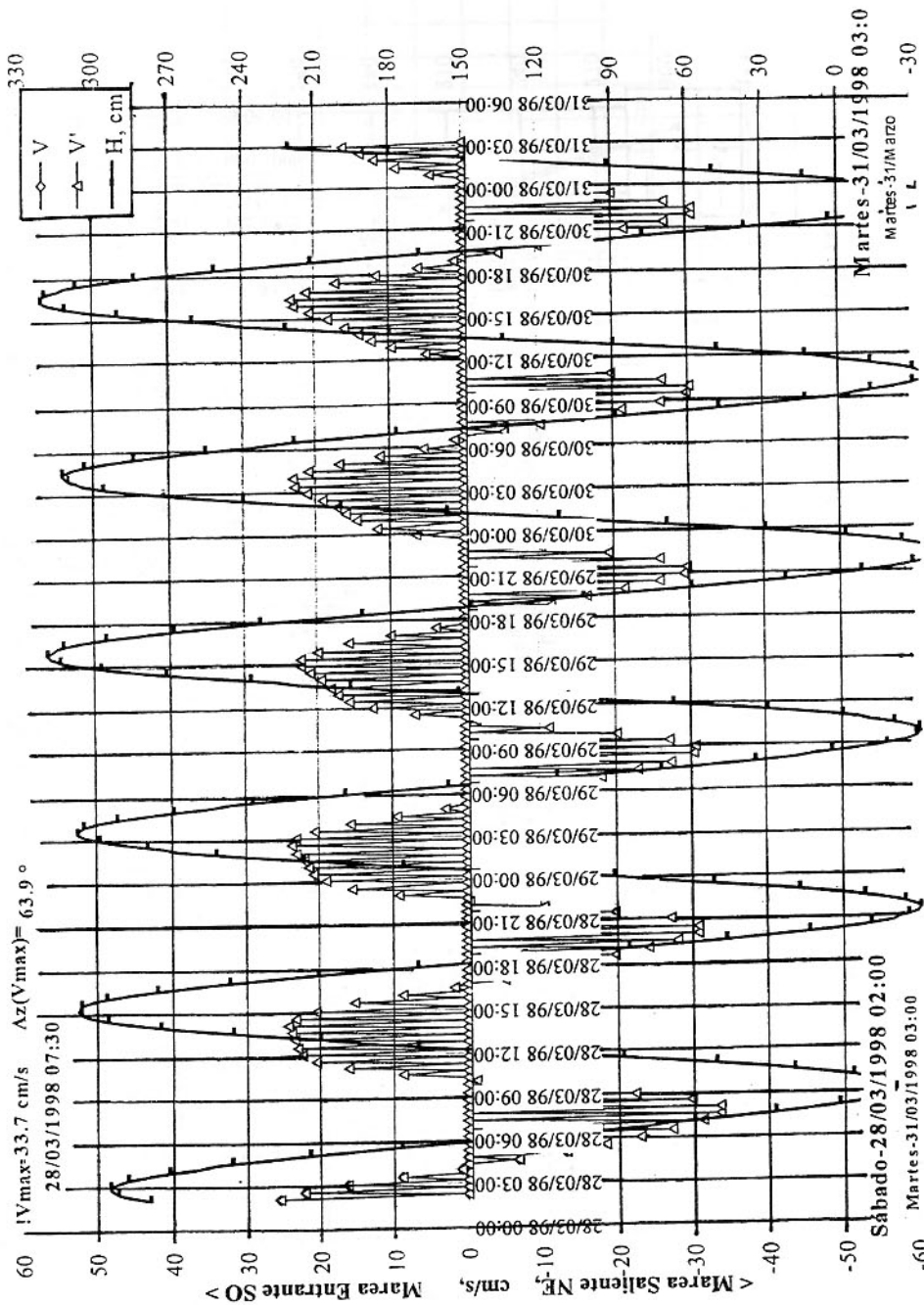
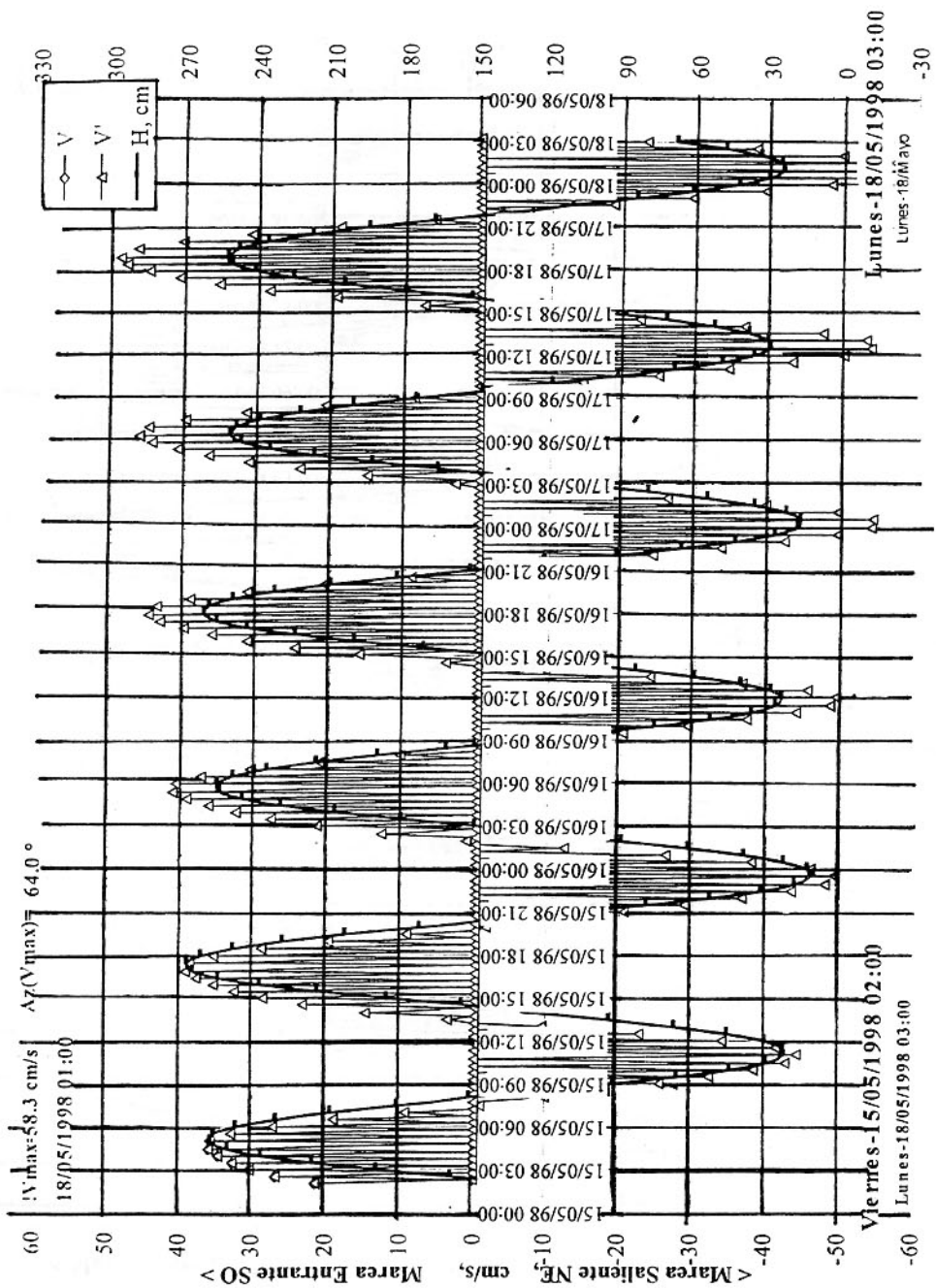
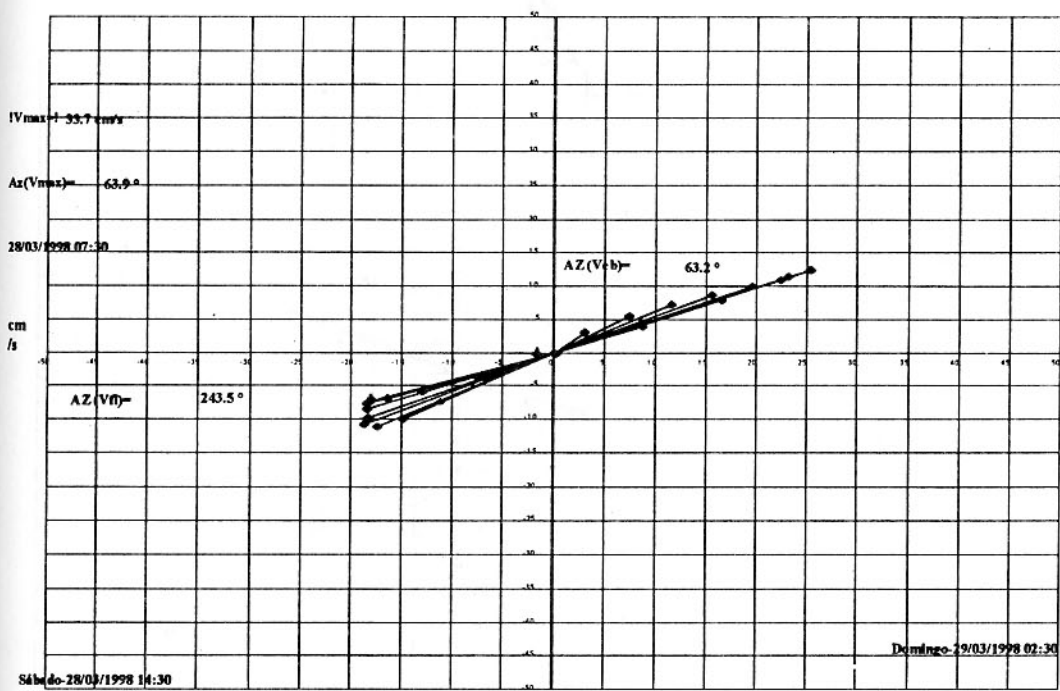
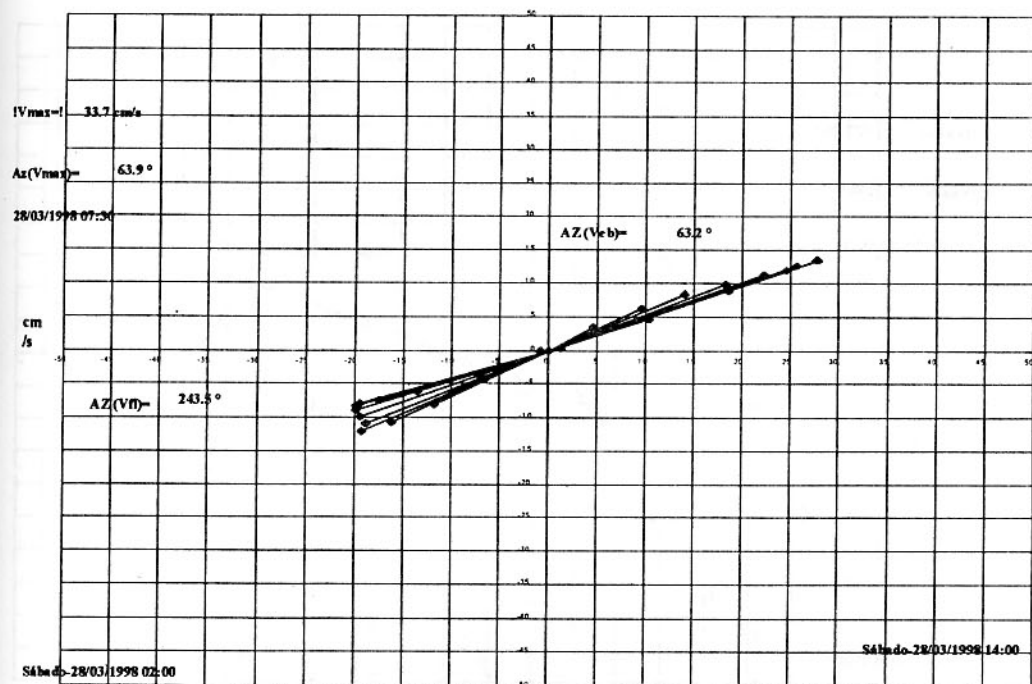
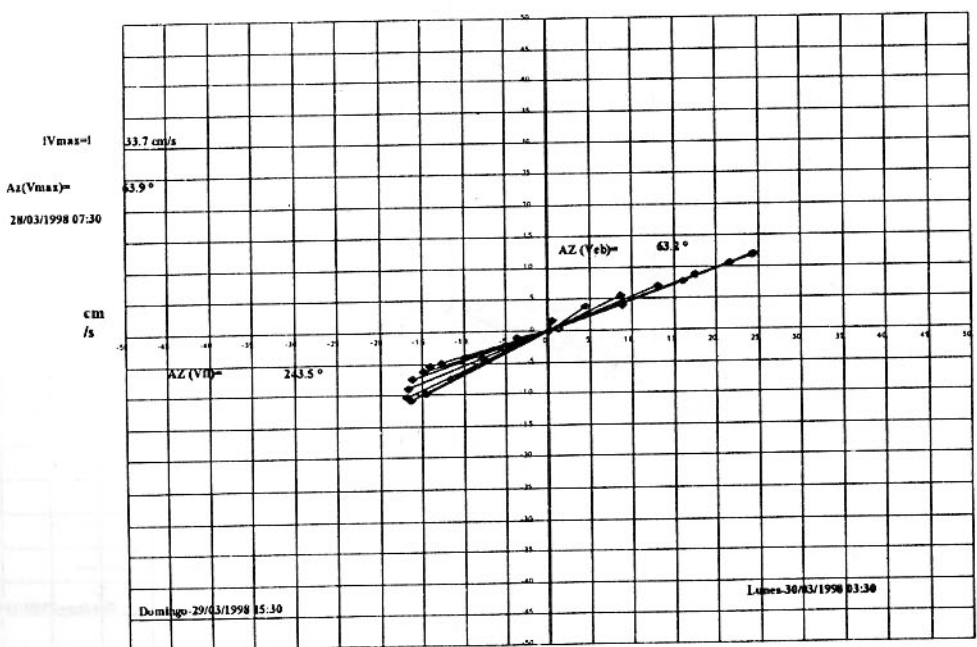
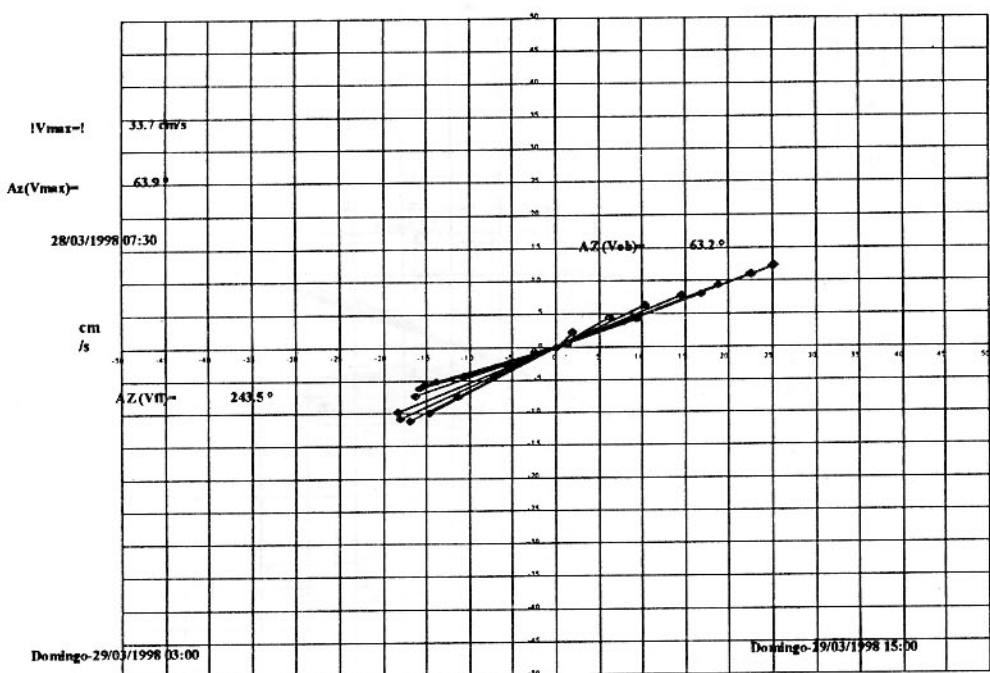
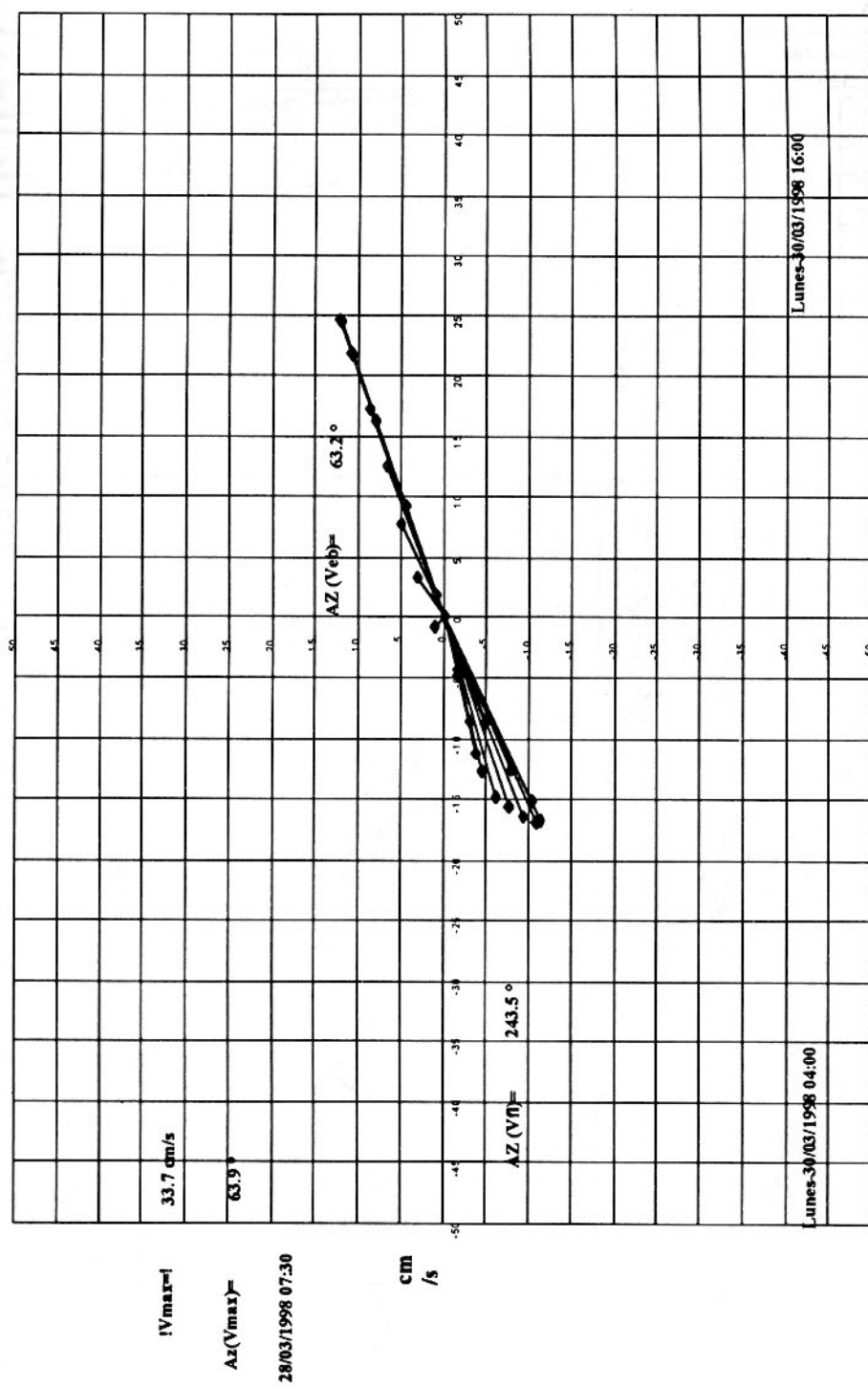


Figura No. 2  
Velocidades Totales de la Corriente y Alturas de Marea









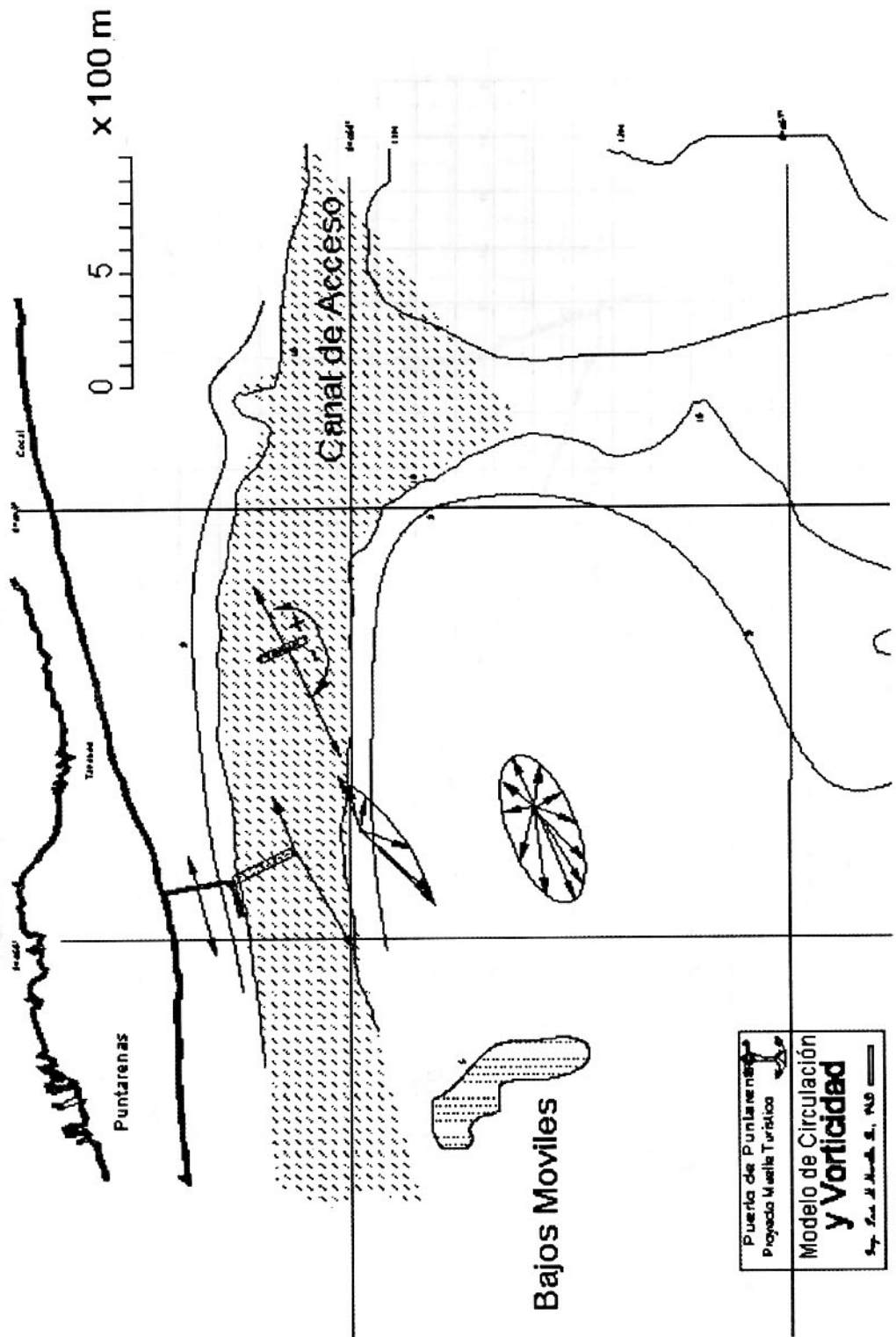
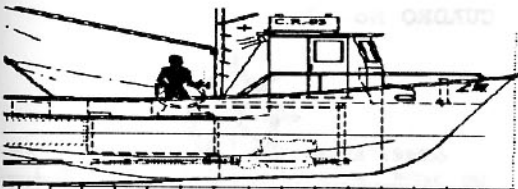


FIGURA No.8  
Eipse de corrientes de marea en extremo sur del viejo muelle

## CUADRO No. 2

Alturas de marea Astronómica  
Altas y Bajamaras en centímetros para:  
Puntarenas (muelle) - Golfo de Nicoya  
1998.



## Día - Altas y Bajamaras ENERO 1998&gt;

	horas	cm	horas	cm	horas	cm	horas	cm
1 J	04:28	300	10:43	-3	16:55	295	23:03	61
2 V	05:12	302	11:26	-6	17:39	300	23:49	41
3 S	05:58	300	12:12	-4	18:26	299		
4 M	00:37	7	06:47	292	13:00	4	19:16	294
5 L	01:30	14	07:40	282	13:53	14	20:11	287
6 A	02:27	23	08:39	269	14:52	26	21:11	279
7 M	03:31	31	09:44	259	15:56	35	22:17	273
8 J	04:40	34	10:54	255	17:05	40	23:25	273
9 V	05:49	31	12:04	257	18:13	38		
10 S	00:31	278	06:54	23	13:08	264	19:16	31
11 D	01:31	285	07:52	14	14:06	274	20:13	24
12 L	02:26	293	08:45	5	14:57	282	21:03	17
13 A	03:15	297	09:32	1	15:44	287	21:50	14
14 M	04:00	297	10:15	1	16:27	288	22:33	15
15 J	04:42	293	10:56	6	17:07	285	23:14	20
16 V	05:22	284	11:34	15	17:45	278	23:52	29
17 S	05:59	272	12:10	27	18:22	268		
18 D	00:30	40	06:37	257	12:46	41	18:58	257
19 L	01:09	53	07:14	242	13:22	55	19:36	245
20 A	01:49	65	07:54	227	14:01	68	20:17	235
21 M	02:34	76	08:39	215	14:45	80	21:05	226
22 J	03:27	83	09:34	206	15:40	87	22:03	222
23 V	04:29	86	10:39	203	16:44	89	23:08	224
24 S	05:36	80	11:47	209	17:51	83		
25 D	00:11	232	06:37	68	12:48	222	18:52	70
26 L	01:09	247	07:30	51	13:41	240	19:46	53
27 A	01:59	264	08:18	32	14:29	261	20:35	34
28 M	02:46	282	09:02	14	15:13	281	21:20	16
29 J	03:31	297	09:45	-2	15:56	297	22:04	1
30 V	04:14	308	10:27	-13	16:39	310	22:48	-9
31 S	04:58	313	11:10	-17	17:22	316	23:32	-12

## Día - Altas y Bajamaras FEBRERO 1998&gt;

	horas	cm	horas	cm	horas	cm
1 D	05:42	312	11:53	-16	18:07	315
2 L	00:19	-8	06:28	304	12:39	-8
3 A	01:08	1	07:18	291	13:29	6
4 M	02:02	14	08:13	275	14:24	22
5 J	03:02	29	09:15	259	15:26	38
6 V	04:10	40	10:25	247	16:37	49
7 S	05:24	43	11:40	245	17:51	51
8 D	00:11	263	06:35	38	12:51	251
9 L	01:16	270	07:37	29	13:51	262
10 A	02:13	278	08:30	19	14:43	273
11 M	03:01	286	09:16	12	15:28	281
12 J	03:44	289	09:57	9	16:08	285
13 V	04:23	287	10:34	11	16:44	285
14 S	04:59	282	11:08	17	17:18	280
15 D	05:32	273	11:39	26	17:49	273
16 L	06:04	262	12:10	36	18:21	265
17 A	00:31	43	06:36	250	12:41	48
18 M	01:06	54	07:11	237	13:16	59
19 J	01:45	65	07:51	225	13:56	71
20 V	02:33	75	08:41	214	14:48	81
21 S	03:35	82	09:**	208	15:56	86
22 D	04:48	81	11:00	210	17:13	83
23 L	06:01	71	12:16	224	18:25	69
24 A	00:42	244	07:03	53	13:16	244
25 M	01:39	264	07:55	31	14:07	268
26 J	02:28	285	08:42	10	14:54	291
27 V	03:14	303	09:26	-8	15:37	309
28 S	03:57	316	10:08	-20	16:20	322

## Día - Altas y Bajamaras ABRIL 1998&gt;

	horas	cm	horas	cm	horas	cm
1 M	05:45	312	11:57	-9	18:10	314
2 J	00:25	-8	06:36	294	12:45	9
3 V	01:15	12	07:28	274	13:37	30
4 S	02:11	33	08:27	253	14:38	51
5 D	03:18	52	09:37	238	15:51	65
6 L	04:34	62	10:55	232	17:11	69
7 A	05:50	62	12:08	237	18:23	62
8 M	00:38	242	06:54	54	13:09	248
9 J	01:34	252	07:45	45	13:57	259
10 V	02:19	260	08:28	38	14:37	268
11 S	02:58	266	09:04	33	15:12	274
12 D	03:31	269	09:35	30	15:43	278
13 L	04:20	270	10:05	30	16:13	280
14 A	04:31	269	10:34	31	16:42	279
15 M	05:01	266	11:04	33	17:13	277
16 J	05:33	262	11:36	37	17:46	272
17 V	00:00	32	06:09	256	12:14	43
18 S	00:41	41	06:51	249	12:58	52
19 D	01:29	51	07:43	240	13:53	61
20 L	02:29	60	08:46	234	15:01	68
21 A	03:40	64	10:00	235	16:18	66
22 M	04:55	58	11:15	245	17:33	53
23 J	06:04	44	12:20	264	18:37	33
24 V	00:51	268	07:02	26	13:17	285
25 S	01:45	287	07:54	7	14:07	305
26 D	02:33	303	08:42	-8	14:53	320
27 L	03:19	314	09:27	-17	15:38	329
28 A	04:04	319	10:11	-19	16:22	330
29 M	04:48	316	10:55	-14	17:06	323
30 J	05:33	306	11:40	-2	17:51	309



CUADRO No. 2



## Día - Altas y Bajamaras MAYO 1998&gt;&gt;

	horas	cm	horas	cm	horas	cm	horas	cm
1 V  00:07 -5	06:20	290	12:27	15	18:39	290		
2 S  00:56 14	07:10	272	13:19	35	19:32	268		
3 D  01:50 35	08:07	253	14:18	54	20:32	248		
4 L  02:52 54	09:11	238	15:27	68	21:42	233		
5 A  04:02 66	10:23	231	16:42	73	22:57	226		
6 M  05:14 70	11:33	232	17:52	69				
7 J  00:06 229	06:17	67	12:33	239	18:51	60		
8 V  01:02 235	07:10	61	13:22	248	19:38	51		
9 S  01:48 243	07:52	55	14:03	257	20:18	42		
10 D  02:26 249	08:29	49	14:38	264	20:52	34		
11 L  03:00 255	09:02	43	15:10	271	21:24	28		
12 A  03:32 260	09:33	38	15:41	276	21:55	24		
13 M  04:03 264	10:04	34	16:13	279	22:27	21		
14 J  04:35 267	10:38	32	16:47	280	23:01	20		
15 V  05:11 268	11:14	32	17:24	278	23:39	22		
16 S  05:50 267	11:55	35	18:06	273				
17 D  06:21 28	06:34	263	12:42	41	18:54	264		
18 L  01:10 35	07:26	258	13:37	47	19:50	255		
19 A  02:07 43	08:25	253	14:41	52	20:55	248		
20 M  03:12 48	09:33	253	15:52	51	22:06	247		
21 J  04:22 47	10:43	259	17:03	43	23:18	253		
22 V  05:30 39	11:49	272	18:09	28				
23 S  00:22 266	06:33	27	12:49	288	19:08	11		
24 D  01:20 281	07:28	13	13:43	303	20:00	-5		
25 L  02:12 295	08:20	1	14:32	315	20:49	-17		
26 A  03:01 305	09:08	-6	15:19	322	21:36	-23		
27 M  03:48 309	09:54	-8	16:05	322	22:21	-22		
28 J  04:33 307	10:40	-4	16:50	313	23:06	-15		
29 V  05:18 300	11:26	5	17:36	303	23:52	-21		
30 S  06:05 288	12:13	19	18:23	286				
31 D  00:39 15	06:53	273	13:02	36	19:12	266		

## Día - Altas y Bajamaras JUNIO 1998&gt;&gt;

	horas	cm	horas	cm	horas	cm	horas	cm
1 L  01:28 34	07:44	257	13:56	52	20:06	247		
2 A  02:22 52	08:40	243	14:55	66	21:07	230		
3 M  03:21 67	09:42	232	16:01	75	22:13	219		
4 J  04:25 77	10:46	228	17:07	77	23:19	216		
5 V  05:27 80	11:46	230	18:08	73				
6 S  00:19 218	06:23	78	12:38	235	18:59	65		
7 D  01:09 224	07:10	72	13:22	243	19:42	56		
8 L  01:51 232	07:51	64	14:01	253	20:20	46		
9 A  02:28 242	08:28	55	14:38	262	20:55	36		
10 M  03:03 251	09:04	46	15:13	271	21:29	27		
11 J  03:38 261	09:40	37	15:49	279	22:05	19		
12 V  04:14 270	10:18	29	16:27	284	22:42	14		
13 S  04:53 276	10:58	24	17:07	286	23:22	11		
14 D  05:34 280	11:41	23	17:51	284				
15 L  00:05 13	06:19	280	12:28	25	18:38	279		
16 A  00:53 18	07:08	278	13:21	29	19:31	270		
17 M  01:46 25	08:03	274	14:19	35	20:30	262		
18 J  02:45 33	09:05	270	15:23	38	21:36	256		
19 V  03:49 37	10:10	270	16:32	36	22:45	255		
20 S  04:57 37	11:17	275	17:40	29	23:54	261		
21 D  06:03 32	12:21	284	18:43	18				
22 L  00:56 271	07:04	23	13:20	294	19:41	51		
23 A  01:54 283	08:00	13	14:14	304	20:33	-6		
24 M  02:46 292	08:52	6	15:04	310	21:22	-12		
25 J  03:34 299	09:41	2	15:52	312	22:08	-13		
26 V  04:21 300	10:27	3	16:37	308	22:53	-9		
27 S  05:05 296	11:12	9	17:22	298	23:36	1		
28 D  05:49 288	11:57	19	18:05	284				
29 L  00:19 15	06:33	276	12:41	32	18:50	267		
30 A  01:02 31	07:17	262	13:28	47	19:35	249		

## Día - Altas y Bajamaras AGOSTO 1998&gt;&gt;

	horas	cm	horas	cm	horas	cm	horas	cm
1 S  02:29 77	08:48	228	15:08	82	21:15	206		
2 D  03:20 89	09:42	219	16:08	89	22:17	199		
3 L  04:22 95	10:46	217	17:15	88	23:27	201		
4 A  05:31 93	11:53	222	18:20	80				
5 M  00:32 211	06:35	82	12:52	234	19:15	65		
6 J  01:26 228	07:30	66	13:44	250	20:02	46		
7 V  02:13 248	08:18	46	14:29	268	20:45	27		
8 S  02:56 269	09:02	27	15:12	285	21:26	101		
9 D  03:37 288	09:45	10	15:54	299	22:06	-4		
10 L  04:18 303	10:27	-3	16:36	308	22:47	-13		
11 A  04:59 313	11:09	-10	17:18	311	23:29	-15		
12 M  05:42 316	11:53	-11	18:03	307				
13 J  00:13 -11	06:27	312	12:40	-4	18:50	297		
14 V  01:00 0	07:15	303	13:30	7	19:41	282		
15 S  01:52 15	08:09	289	14:27	22	20:39	266		
16 D  02:50 32	09:10	274	15:32	35	21:47	252		
17 L  03:59 45	10:20	264	16:45	42	23:02	246		
18 A  05:14 50	11:35	262	18:00	40				
19 M  00:17 250	06:28	46	12:45	268	19:07	31		
20 J  01:22 262	07:32	35	13:47	278	20:05	191		
21 V  02:18 275	08:27	23	14:39	288	20:54	91		
22 S  03:06 286	09:15	13	15:25	294	21:38	41		
23 D  03:49 292	09:57	8	16:06	295	22:17	31		
24 L  04:27 294	10:36	9	16:44	291	22:53	81		
25 A  05:03 290	11:12	14	17:19	282	23:27	171		
26 M  05:37 282	11:46	24	17:53	270	23:59	301		
27 J  06:09 272	12:20	36	18:25	256				
28 V  00:30 43	06:42	259	12:54	49	18:59	241		
29 S  01:41 57	07:16	246	13:31	63	19:36	226		
30 D  01:41 71	07:56	234	14:14	76	20:22	213		
31 L  02:27 83	08:47	223	15:11	86	21:21	204		

MariTemporal Costa Rica (GMT+6h\*rs), REF.Siguiendo:-1.39 bms@-0.11 (Lunes) 0.09PM

## CUADRO No. 2



P. I. I. C. A. N.

Día - Altas y Bajamaras NOVIEMBRE 1998&gt;&gt;

Día	horas	cm	horas	cm	horas	cm	horas	cm	horas	cm	horas	cm
1 Al	03:30	92	09:53	216	16:22	89	22:37	202				
2 M	04:47	92	11:10	218	17:37	82	23:53	212				
3 J	06:02	81	12:21	231	18:42	66						
4 V	00:55	231	07:05	62	13:19	250	19:35	46				
5 S	01:47	255	07:56	39	14:08	271	20:21	24				
6 D	02:33	278	08:42	16	14:53	291	21:04	41				
7 L	03:15	300	09:26	-3	15:36	307	21:46	-11				
8 Al	03:57	316	10:08	-17	16:17	317	22:27	-20				
9 M	04:38	325	10:50	-24	17:00	319	23:09	-22				
10 J	05:20	327	11:33	-22	17:43	314	23:52	-16				
11 V	06:05	320	12:19	-13	18:29	303						
12 S	00:38	-3	06:52	307	13:08	2	19:19	285				
13 D	01:29	15	07:44	288	14:03	20	20:16	266				
14 L	02:27	35	08:45	269	15:07	38	21:23	249				
15 Al	03:36	51	09:57	255	16:22	49	22:40	241				
16 M	04:55	58	11:15	250	17:39	50	23:58	245				
17 J	06:12	53	12:29	256	18:49	42						
18 V	01:04	256	07:17	41	13:30	266	19:46	30				
19 S	01:59	269	08:10	28	14:22	277	20:34	21				
20 D	02:45	280	08:55	18	15:05	284	21:15	15				
21 L	03:25	287	09:35	12	15:44	286	21:52	14				
22 Al	04:01	289	10:11	11	16:19	283	22:25	17				
23 M	04:33	287	10:44	15	16:51	277	22:56	24				
24 J	05:04	282	11:15	22	17:22	268	23:25	32				
25 V	05:34	274	11:46	31	17:52	258	23:55	42				
26 S	06:05	264	12:17	42	18:24	246						
27 D	00:27	53	06:38	253	12:53	54	19:00	235				
28 L	01:05	64	07:18	241	13:35	65	19:45	224				
29 Al	01:52	75	08:08	229	14:29	76	20:43	215				
30 M	02:55	84	09:15	221	15:39	81	21:58	213				

Día - Altas y Bajamaras DICIEMBRE 1998&gt;&gt;

Día	horas	cm	horas	cm	horas	cm	horas	cm	horas	cm	horas	cm
1 Al	00:16	278	06:37	22	12:49	270	18:58	23				
2 M	01:13	293	07:32	6	13:44	285	19:52	10				
3 J	02:05	307	08:23	-9	14:35	297	20:42	-11				
4 V	02:54	317	09:12	-19	15:23	306	21:30	-71				
5 S	03:42	322	09:58	-23	16:10	309	22:17	-71				
6 D	04:28	320	10:44	-20	16:56	306	23:03	-21				
7 L	05:14	312	11:30	-12	17:43	299	23:51	8				
8 Al	06:01	298	12:17	2	18:31	286						
9 M	00:40	22	06:50	281	13:05	19	19:21	272				
10 J	01:32	37	07:42	262	13:57	37	20:15	257				
11 V	02:29	52	08:40	244	14:54	54	21:14	245				
12 S	03:31	64	09:43	229	15:56	67	22:16	237				
13 D	04:38	70	10:50	221	17:00	74	23:19	234				
14 L	05:43	70	11:54	220	18:00	76						
15 Al	00:17	237	06:40	65	12:51	223	18:53	73				
16 M	01:07	242	07:28	58	13:38	229	19:39	68				
17 J	01:50	249	08:09	50	14:19	236	20:18	61				
18 V	02:28	256	08:46	42	14:55	245	20:55	53				
19 S	03:04	264	09:20	34	15:29	253	21:30	45				
20 D	03:39	271	09:54	27	16:03	262	22:06	37				
21 L	04:14	276	10:29	21	13:39	269	22:43	31				
22 Al	04:52	280	11:06	17	17:17	274	23:23	28				
23 M	05:32	280	11:46	17	17:59	277						
24 J	00:07	27	06:16	277	12:29	19	18:44	277				
25 V	00:55	29	07:04	271	13:18	24	19:34	274				
26 S	01:48	34	07:59	263	14:12	31	20:31	271				
27 D	02:48	38	08:59	256	15:12	38	21:33	268				
28 L	03:54	40	10:07	252	16:19	41	22:40	270				
29 Al	05:03	36	11:16	254	17:27	38	23:46	276				
30 M	06:09	26	12:23	263	18:32	31						
31 J	00:49	286	07:11	14	13:24	275	19:32	20				



## CUADRO NO: 3

Corrientes de marea astronómica  
en centímetros/seg para:

Muelle de Puntarenas 1998.

## CUADRO NO: 3



Día	MARZO 1998>>						
	- Entrantes y Salientes	horas	cm/s	horas	cm/s	horas	cm/s
1 D	03:46 31	10:05 -32		16:21 31	22:36 -32		
2 L	04:51 33	11:06 -34		17:19 34	23:32 -35		
3 A	05:44 36	11:56 -37		18:07 37			
4 M	00:18 -38	06:29 39		12:39 -39	18:48 39		
5 J	00:58 -40	07:08 40		13:15 -40	19:23 41		
6 V	01:32 -42	07:42 41		13:48 -40	19:55 41		
7 S	02:04 -42	08:13 41		14:18 -40	20:25 41		
8 D	02:34 -41	08:42 40		14:47 -39	20:54 40		
9 L	03:04 -41	09:12 39		15:17 -38	21:25 39		
10 A	03:36 -39	09:44 37		15:50 -36	21:59 37		
11 M	04:11 -37	10:21 35		16:28 -34	22:39 35		
12 J	04:53 -34	11:04 32		17:14 -31	23:27 32		
13 V	05:43 -31	11:57 29		18:10 -29			
14 S	00:27 29	06:46 -28		13:03 27	19:20 -27		
15 D	01:39 28	08:00 -28		14:18 28	20:36 -29		
16 L	02:56 30	09:15 -31		15:31 32	21:48 -34		
17 A	04:05 35	10:21 -36		16:35 38	22:50 -40		
18 M	05:05 42	11:17 -43		17:30 45	23:43 -48		
19 J	05:56 49	12:08 -49		18:19 52			
20 V	00:31 -54	06:44 54		12:54 -55	19:04 57		
21 S	01:17 -58	07:29 58		13:38 -57	19:49 59		
22 D	02:01 -60	08:13 59		14:22 -58	20:32 59		
23 L	02:45 -59	08:57 57		15:06 -56	21:17 56		
24 A	03:30 -56	09:42 53		15:51 -51	22:03 51		
25 M	04:16 -50	10:29 47		16:40 -45	22:52 45		
26 J	05:07 -43	11:21 40		17:33 -38	23:48 38		
27 V	06:05 -36	12:21 33		18:35 -32			
28 S	00:53 31	07:12 -30		13:30 28	19:48 -28		
29 D	02:08 28	08:28 -27		14:47 26	21:05 -27		
30 L	03:24 27	09:41 -27		15:57 28	22:13 -29		
31 A	04:29 30	10:43 -30		16:55 31	23:08 -32		

Día	ABRIL 1998>>					
	- horas	cm/s	horas	cm/s	horas	cm/s
1 M	05:21 33	11:32 -32	17:41 34	23:52 -35*		
2 J	06:03 35	12:11 -35	18:19 36			
3 V	00:29 -38	06:39 38	12:46 -37	18:52 39		
4 S	01:02 -40	07:11 39	13:16 -39	19:22 40		
5 D	01:32 -42	07:40 40	13:45 -40	19:52 41		
6 L	02:01 -42	08:10 41	14:15 -40	20:22 42		
7 A	02:32 -43	08:41 41	14:47 -41	20:55 42		
8 M	03:05 -42	09:14 40	15:22 -40	21:31 41		
9 J	03:43 -40	09:53 38	16:02 -38	22:13 38		
10 V	04:26 -37	10:38 36	16:50 -35	23:03 35		
11 S	05:18 -34	11:32 33	17:47 -32			
12 D	00:04 32	06:21 -31	12:38 31	18:56 -31		
13 L	01:16 31	07:34 -30	13:52 31	20:12 -32		
14 A	02:32 32	08:49 -33	15:06 34	21:24 -36		
15 M	03:42 37	09:57 -38	16:11 40	22:27 -43		
16 J	04:42 43	10:55 -44	17:07 47	23:21 -49		
17 V	05:35 50	11:46 -50	17:57 52			
18 S	00:11 -55	06:24 54	12:34 -54	18:44 57		
19 D	00:57 -58	07:09 57	13:19 -57	19:29 58		
20 L	01:42 -59	07:53 58	14:03 -57	20:13 58		
21 A	02:26 -58	08:37 56	14:47 -54	20:57 54		
22 M	03:10 -54	09:22 51	15:32 -50	21:43 49		
23 J	03:56 -48	10:08 45	16:19 -44	22:32 43		
24 V	04:45 -41	10:59 39	17:11 -37	23:25 36		
25 S	05:41 -34	11:55 32	18:11 -31			
26 D	00:28 29	06:44 -28	13:01 27	19:19 -26		
27 L	01:39 25	07:56 -24	14:13 24	20:33 -25		
28 A	02:52 24	09:08 -24	15:22 25	21:39 -26		
29 M	03:56 26	10:08 -25	16:19 27	22:33 -29		
30 J	04:48 29	10:57 -28	17:05 30	23:17 -32		

Día	MAYO 1998>>					
	- horas	cm/s	horas	cm/s	horas	cm/s
1 V	05:29 32	11:36 -31	17:43 33	23:54 -35		
2 S	06:05 34	12:10 -34	18:16 36			
3 D	00:27 -38	06:37 37	12:42 -37	18:48 39		
4 L	00:58 -40	07:08 39	13:13 -39	19:20 41		
5 A	01:30 -42	07:39 41	13:46 -41	19:54 43		
6 M	02:04 -44	08:14 43	14:21 -42	20:30 44		
7 J	02:41 -44	08:51 43	15:00 -43	21:10 43		
8 V	03:21 -43	09:32 42	15:43 -42	21:55 41		
9 S	04:07 -41	10:20 40	16:33 -39	22:46 39		
10 D	05:00 -38	11:14 37	17:30 -37	23:46 36		
11 L	06:01 -35	12:17 35	18:36 -36			
12 A	00:54 34	07:10 -34	13:27 35	19:47 -36		
13 M	02:07 35	08:22 -35	14:38 37	20:58 -39		
14 J	03:16 39	09:29 -39	15:44 42	22:01 -44		
15 V	04:17 44	10:30 -44	16:42 47	22:58 -49		
16 S	05:13 48	11:24 -48	17:35 51	23:49 -53		
17 D	06:03 52	12:13 -52	18:24 54			
18 L	00:37 -56	06:50 55	13:00 -54	19:10 55		
19 A	01:23 -56	07:36 55	13:45 -54	19:56 54		
20 M	02:08 -55	08:20 53	14:30 -51	20:41 51		
21 J	02:53 -51	09:05 49	15:15 -47	21:26 47		
22 V	03:38 -46	09:50 44	16:02 -42	22:13 41		
23 S	04:26 -39	10:38 38	16:51 -36	23:04 35		
24 D	05:16 -33	11:29 32	17:44 -31	23:59 29		
25 L	06:12 -27	12:26 27	18:44 -27			
26 A	01:01 25	07:14 -23	13:29 24	19:48 -24		
27 M	02:07 23	08:19 -21	14:32 23	20:51 -24		
28 J	03:09 23	09:19 -22	15:30 24	21:47 -26		
29 V	04:02 25	10:10 -24	16:19 26	22:34 -28		
30 S	04:47 27	10:54 -27	17:01 30	23:14 -32		
31 D	05:26 31	11:32 -31	17:39 33	23:51 -35		

Día	JUNIO 1998>>					
	- horas	cm/s	horas	cm/s	horas	cm/s
1 L	06:02 35	12:08 -35	18:16 37			
2 A	00:27 -39	06:37 38	12:44 -38	18:52 41		
3 M	01:04 -42	07:14 42	13:22 -42	19:31 43		
4 J	01:42 -44	07:52 44	14:01 -44	20:11 45		
5 V	02:22 -46	08:33 46	14:43 -46	20:54 46		
6 S	03:05 -46	09:17 46	15:29 -46	21:41 45		
7 D	03:52 -44	10:05 45	16:18 -44	22:32 43		
8 L	04:44 -42	10:58 43	17:14 -42	23:29 41		
9 A	05:42 -40	11:56 41	18:15 -41			
10 M	00:31 39	06:45 -38	13:01 39	19:21 -40		
11 J	01:39 36	07:53 -37	14:09 40	20:28 -41		
12 V	02:47 39	09:00 -39	15:15 41	21:34 -43		
13 S	03:51 42	10:03 -42	16:17 44	22:34 -46		
14 D	04:49 45	11:01 -45	17:13 48	23:29 -49		
15 L	05:43 48	11:54 -48	18:06 50			
16 A	00:20 -51	06:33 50	12:44 -50	18:55 51		
17 M	01:08 -52	07:20 51	13:30 -50	19:41 51		
18 J	01:53 -51	08:05 50	14:16 -49	20:26 48		
19 V	02:38 -48	08:49 47	15:00 -46	21:10 45		
20 S	03:21 -44	09:32 43	15:43 -42	21:54 40		
21 D	04:04 -39	10:15 38	16:27 -37	22:39 35		
22 L	04:49 -33	10:59 33	17:13 -32	23:26 30		
23 A	05:35 -28	11:46 28	18:02 -28			
24 M	00:16 25	06:24 -24	12:36 25	18:54 -25		
25 J	01:10 22	07:19 -21	13:31 22	19:51 -23		
26 V	02:08 21	08:17 -20	14:29 22	20:48 -23		
27 S	03:05 22	09:13 -21	15:24 24	21:43 -25		
28 D	03:58 24	10:06 -24	16:16 27	22:32 -29		
29 L	04:45 28	10:53 -28	17:03 31	23:17 -33		
30 A	05:29 32	11:37 -33	17:47 36			